

# ВЛИЯНИЕ РАНЖИРОВАНИЯ ИНДИКАТОРОВ АТАК НА КАЧЕСТВО МОДЕЛЕЙ МАШИННОГО ОБУЧЕНИЯ В АГЕНТНЫХ СИСТЕМАХ НЕПРЕРЫВНОЙ АУТЕНТИФИКАЦИИ

DOI: 10.36724/2072-8735-2023-17-8-45-55

**Manuscript received** 30 May 2023;  
**Accepted** 02 July 2023

**Фомичева Светлана Григорьевна,**  
 Санкт-Петербургский государственный университет  
 аэрокосмического приборостроения, г. Санкт-Петербург,  
 Россия, [levikha@mail.ru](mailto:levikha@mail.ru)

**Ключевые слова:** индикатор компрометации,  
 индикатор атаки, ранжирование индикаторов,  
 методы объясняемого машинного обучения,  
 деревья решений

Агенты безопасности систем аутентификации функционируют в автоматическом режиме и контролируют поведение субъектов, анализируя их динамику с помощью как традиционных (статистических) методов, так и методов на базе машинного обучения. Расширение парадигмы тканей кибербезопасности актуализирует совершенствование адаптивных объясняемых методов и моделей машинного обучения для систем непрерывной аутентификации. Целью исследования является оценка влияния методов ранжирования индикаторов компрометации, индикаторов атак и иных признаков на точность выявления аномалий сетевого трафика, как части ткани безопасности при непрерывной аутентификации пользователей и сущностей. Использовались вероятностные и объясняемые методы бинарной классификации, а также нелинейные регрессоры на базе деревьев решений. Результаты исследования показали, что методы предварительного ранжирования повышают точность и скорость функционирования у контролируемых ML-моделей в среднем на 7%. У неконтролируемых моделей предварительное ранжирование существенно не влияет на время обучения, но повышает F1-Score на 2-10 %, что обосновывает их целесообразность в агентных системах непрерывной аутентификации. Разработанные в работе модели обосновывают целесообразность механизмов предварительного ранжирования индикаторов компрометации и атак, позволяя создавать прототипы паттернов индикаторов атак в автоматическом режиме. В целом неконтролируемые модели не столь точны, как контролируемые, что актуализирует совершенствование либо объясняемых неконтролируемых подходов к выявлению аномалий, либо подходов на базе методов с подкреплением.

#### Информация об авторе:

**Фомичева Светлана Григорьевна**, к.т.н., профессор, профессор Санкт-Петербургского государственного университета аэрокосмического приборостроения, г. Санкт-Петербург, Россия

#### Для цитирования:

Фомичева С.Г. Влияние ранжирования индикаторов атак на качество моделей машинного обучения в агентных системах непрерывной аутентификации // T-Comm: Телекоммуникации и транспорт. 2023. Том 17. №8. С. 45-55.

#### For citation:

Fomicheva S.G. (2023) Influence of attack indicator ranking on the quality of machine learning models in agent-based continuous authentication systems. *T-Comm*, vol. 17, no. 8, pp. 45-55. (in Russian)

## Введение

Смена традиционной парадигмы обеспечения безопасности, базирующейся на защите периметра организации, на парадигму нулевого доверия (Zero Trust) привела к кардинальным изменениям в осуществлении процессов аутентификации и верификации пользователей, устройств и программных сущностей. Архитектура нулевого доверия основана на принципе «никогда не доверять, непрерывно проверять и оценивать риски». По данным <https://owasp.org/www-project-top-ten/> OWASP (Open Worldwide Application Security Project) угрозы, связанные с нарушением контроля доступа (Broken Access Control) и нарушением идентификации и аутентификации (Broken Authentication) продолжают возглавлять список наиболее опасных нарушений в сфере информационной безопасности (табл. 1).

Таблица 1

### Рейтинг угроз безопасности для веб-приложений (динамика с 2017 по 2021 год)

№	Рейтинг атак на 2017 год	Динамика	Рейтинг атак на 2021 год
1	A02:2017 – Injection (Инъекции)	↓ (-2)	A01:2021 – Broken Access Control (Нарушение контроля доступа)
2	A02:2017 – Broken Authentication (Нарушение идентификации и аутентификации)	↓ (-6)	A02:2021 – Cryptographic Failures (Криптографические сбои)
3	A03:2017 – Sensitive Data Exposure (Раскрытие конфиденциальных данных)	↑ (+1)	A03:2021 – Injection (Инъекции)
4	A04:2017 – XML External Entities (Внешние объекты)	new	A04:2021 – Insecure Design (Небезопасный дизайн)
5	A05:2017 – Broken Access Control Нарушение контроля доступа	↑ (+4)	A05:2021 – Secure Misconfiguration (Неверная конфигурация безопасности)
6	A06:2017 – Secure Misconfiguration (Неверная конфигурация безопасности)	↑ (+1)	A06:2021 – Vulnerable and Outdated Components (Уязвимые и устаревшие компоненты)
7	A07:2017 – Cross-site scripting (XSS) (Межсайтовый скрипting)	↑ (+3)	A07:2021 – Broken Authentication (Нарушение идентификации и аутентификации)
8	A08:2017 – Insecure Deserialization (Небезопасная десериализация)	new	A08:2021 – Soft and Data Integrity Failures (Ошибки целостности программного обеспечения и данных)
9	A09:2017 – Using Components with Known Vulnerabilities (Использование компонентов с известными уязвимостями)	↑ (+3)	A08:2021 – Secure Logging & Monitoring Failures (Сбои регистрации и мониторинга безопасности)
10	A10:2017 – Insufficient Logging & Monitoring (Некачественность регистрации и мониторинга)	new	A10:2021 – Server-Site Request Forgery Подделка запросов на стороне сервера

Ключевым аспектом архитектуры нулевого доверия является то, что вся деятельность должна регистрироваться и отслеживаться, а любые аномалии, включая подозрительное боковое движение, немедленно отмечаться. Для этих целей инфраструктура безопасности все чаще использует агентный подход организации межкомпонентного взаимодействия, где функционал по обеспечению безопасности реализуется с помощью специализированных программных решений, называемых агентами безопасности. Агенты безопасности функционируют в автоматическом режиме и контролируют поведение субъектов, анализируя их динамику с помощью как традиционных (статистических) методов, так и методов на базе машинного обучения (ML-методов) [1]. Специфика ML-методов для агентов безопасности заключается в обязательном использовании методов объясняемого искусственного интеллекта (XAI), а также необходимостью их самоадаптации к изменению внешнего окружения при сохранении способности выполнять свою основную целевую задачу [2].

В данной работе приведены результаты авторских экспериментов по оценке влияния методов ранжирования индикаторов компрометации (*IoC – Indicators of Compromise*), индикаторов атак (*IoA – Indicators of Attack*) [3] и иных признаков на точность выявления аномалий сетевого трафика, как части ткани безопасности при непрерывной аутентификации пользователей и сущностей.

С этой целью исследовались методы на базе деревьев решений и вероятностные ML-модели при выявлении аномалий, связанных с тремя типами атак: FTP – Patator, SSH-Patator, XSS (Cross-Site Scripting) [<https://kali.tools/?p=269>]. Эксперименты проводились при использовании открытых наборов данных (датасетов) в их исторической ретроспективе – NSL – KDD 2009, ISCX 2012, CICIDS2017, Loghub2021 [4], на основе которых после очистки и дополнительной предобработки и разметки был создан авторский композитный датасет для выявления аномалий в системах аутентификации.

### Индикаторы угроз безопасности и методы их ранжирования

Персонализированные характеристики поведения субъектов систем безопасности подразумевают регистрацию и последующий динамический анализ последовательностей многомерного наблюдения, которые генерируются окружением субъекта. В частности, среди активно исследуемых подходов в Zero Trust системах рассматривается непрерывная аутентификация (CA – continuous authentication), в ходе которой проводится потоковый майнинг данных (DSM – data stream mining) с целью выявления индикаторов компрометации (*IoC – Indicators of Compromise*), индикаторов атак (*IoA – Indicators of Attack*) и иных признаков аномального поведения субъектов при получении доступа к доверительным средам. Обычно индикаторы компрометации поставляются в виде так называемых потоков или фидов угроз (threat feed) – структурированного списка данных об угрозах. Фиды, как правило, интегрируются в средства мониторинга, анализа и реагирования, например, такие как SIEM (Security Information and Event Management), UEBA (User and Entity Behavioral Analytics) и SOAR (System of Orchestration, Automation and Response). Зачастую индикатор компрометации состоит из типа источника, значения и контекста.



- распределение данных по типам объектов, которые предоставляют фиды;
- распределение типов индикаторов компрометации по фидам;
- среднее время обновления индикатора;
- возраст индикаторов компрометации в фиде;
- 的独特性 data 在 different sources.

Принцип адаптации амстердамской модели заключается в том, что все индикаторы компрометации, рассматриваются в привязке к принадлежности доменам систем и доменам данных контролируемой ИТ-инфраструктуры.

Авторы из компании Jet CSIRT исходят из предположения, что домены данных находятся в категориях [https://habr.com/ru/companies/jetinfosystems/articles/459674/]:

- Real-Time Activity* - активность на источнике (то, что обнаруживается средствами анализа событий безопасности в реальном времени). Например, запускаемые процессы, изменение ключей реестра, создание файлов; сетевая активность, активные подключения и т.п. При обнаружении индикатора данной категории время на реакцию со стороны службы ИБ – минимально, следовательно, весовой коэффициент индикатора большой.
- Historical Activity* - историческая активность (то, что обнаруживается при ретроспективных проверках): исторические логи; телеметрия; сработавшие алERTы. При обнаружении индикатора данной категории время на реакцию со стороны службы ИБ – допустимо ограничено, следовательно, весовой коэффициент индикатора средний.
- Data at Rest* - данные, находящиеся в покое (то, что обнаруживается в рамках ретроспективных проверок давно неиспользуемых источников): файлы, которые давно хранятся на источнике; ключи реестра; другие не использующиеся объекты. При обнаружении индикатора данной категории время на реакцию со стороны службы ИБ ограничивается длительностью проведения полного расследования инцидента, следовательно, весовой коэффициент индикатора низкий.

Домены систем определяют принадлежность источника индикатора компрометации к одной из подсистем инфраструктуры:

- Рабочие станции.* Источники, используемые непосредственно пользователем для выполнения повседневной работы: АРМ, ноутбуки, планшеты, смартфоны, терминалы (VoIP, ВКС, IM), прикладные программы (CRM, ERP, etc.).
- Серверы.* Здесь имеются в виду остальные устройства, обслуживающие (serve) инфраструктуру, т.е. устройства, обеспечивающие работу ИТ-комплекса: СЗИ (FW, IDS/IPS, AV, EDR, DLP), сетевые устройства, файловые/веб/прокси-серверы, системы СХД, СКУД, контроль окружеди и т.д.

Комбинируя принадлежность источников доменам данных и систем с составом признаков индикатора компрометации (атомарный *IoC* или композитный), в зависимости от допустимого времени реакции, формируется приоритет инцидента при его детектировании.

CIRCL-подход предполагает [https://news.myseldon.com/ru/news/index/21346226], что приоритет и время жизни некоторых индикаторов не является гомогенным и могут меняться. Время жизни индикаторов задается функцией, характеризующей скорость снижения веса индикатора со временем [3].

Ключевым недостатком вышеперечисленных моделей является необходимость знания особенностей архитектуры анализируемой ИТ-инфраструктуры. При ее изменении приходится переконфигурировать и систему ранжирования индикаторов. Эту проблему пытаются решить с использованием методов машинного обучения (ML-методов).

В качестве ML-методов при обнаружении вторжений на основе индикаторов компрометации исследовали оценивали эффективность деревьев решений [9], машины опорных векторов [10], метода *k*-ближайших соседей [11], ансамбли данных методов [12] и методы глубокого обучения [13 -15, 19]. При этом итоговое дерево решений или обученная модель интерпретируются как прототип паттерна *IoA* (после верификации экспертом-аналитиком паттерн фиксируется в базе знаний как *IoA* (рис.1)).

В данной работе акцент при ранжировании индикаторов сделан на исследовании ML-методов на основе XAI (объясняемого искусственного интеллекта) с целью повысить точность выявления аномалий в агентных системах аутентификации. В исследовании, в силу ограниченности объема статьи, не отражены перспективные ML-методы на базе иерархических нейро-нечетких сущностей, предложенные автором данной работы. Однако, теоретическое обоснование возможностей применения иерархических нейро-нечетких сущностей автором представлено в работах [1, 2, 18, 20], а структура и принципы построения таких интеллектуальных классификаторов для систем аутентификации описано в [21].

### Фиды угроз безопасности и датасеты для систем аутентификации

Качество ML-моделей напрямую зависит от полноты и не противоречивости используемых для обучения и тестирования наборов данных. Данное исследование проводилось, исходя из следующей эвристики.

Пусть *Features* – множество признаков некоторого датасета, а *Feeds* – множество признаков фида. Тогда исходим из предположения, что:

$$\left\{ \begin{array}{l} Features \cap Feeds = \emptyset \\ Features_j^A \cap Feeds_j \approx Feeds_j = \bigcup_i IoC_i^j, \\ Ranking(Features_j^A) \cap Feeds_j \rightarrow IoA_j \end{array} \right. \quad (1)$$

где  $Features_j^A$  – подмножество признаков датасета, свойственных аномалии при зафиксированной атаке  $j$ -го типа, а  $IoA_j$  – индикатор атаки  $j$ -го типа,  $IoC_i^j$  – совокупность индикаторов компрометации, релевантных атаке  $j$ -го типа.

Предположение (1) требует наличия датасетов, содержащих признаки, релевантные индикаторам компрометации и атак соответствующего типа. Кроме того, поскольку индикаторы компрометации имеют ограниченный жизненный цикл, было принято решение учесть возможность деградации индикаторов за счет использования нескольких открытых датасетов (табл.3), применяемых при выявлении аномалий, в их исторической ретроспективе с шагом создания 3-4 года – NSL-KDD 2009, ISCX 2012, CICIDS 2017, Loghub 2021.



Кроме того, деревья решений относят кия к объясняемым методам XAI. В качестве инструмента использован Scikit-learn – библиотека машинного обучения на Python.

Очищенный композитный набор данных, из которого исключены данные на прямую не относящиеся к аутентификации, содержит 1 146 193 записей с 85 признаками, которые определяют свойства потока, такие как идентификатор потока, IP-адрес источника, порт источника и другие. Записей с FTP-Patator атаками – 47938, SSH-Patator атаками – 35897, Web Attack – Brute Force атаками – 21507, Web Attack – XSS атаками – 6652, Web Attack – SQL Injection атаками – 921. Проблема несбалансированности набора данных решалась сокращением числа штатных записей при формировании как обучающей, так и тестовых выборок.

Задача обнаружения аномалий моделировалась как проблема бинарной классификации. В качестве основной оценочной метрики использована *F1-Score* в силу типичной для алгоритмов классификации при оценке показателя точности. Метрика *F1-Score* оценивает баланс между *Precision* и *Recall*, вычисляя их среднее гармоническое. Если *F1 Score* = 1, это указывает на идеальную точность и полноту:

$$F1\_Score = 2 \cdot \frac{Recall \times Precision}{Recall + Precision} = \frac{2TP}{2TP + FP + FN}. \quad (2)$$

где *Precision* — основная оценочная метрика при работе с несбалансированными данными, определяемая выражением:

$$Precision = \frac{\text{количество истинно положительных прогнозов}}{\text{количество правильных прогнозов}} = \frac{TP}{TP + FN}. \quad (3)$$

*Recall* определяется выражением (4) и указывает на пропущенные положительные прогнозы, в отличие от метрики *Precision* (3):

$$Recall = \frac{TP}{TP + FN}. \quad (4)$$

Чем ближе *Recall* к 1, тем лучше модель, поскольку она не пропускает истинно положительные результаты. Гораздо хуже, если модель верифицирует, например, некоторых авторизованных пользователей как неавторизованных и откажет им в доступе к системе. Метрика *Recall* в этом случае работает лучше, чем *Precision*.

Метрика *Accuracy* интуитивно понятна и проста в реализации: (5), варьируется от 0 до 1 и используется для простых моделей и сбалансированных датасетов:

$$Accuracy = \frac{\text{количество правильных прогнозов}}{\text{общее количество прогнозов}} = \frac{TP + TN}{TP + FP + TN + FN}. \quad (5)$$

### Типы анализируемых атак

Во всех используемых датасетах запись без использования атаки, формируемая с использованием почтовых сервисов, протоколов SSH, FTP, HTTP и HTTPS, представляет собой безопасный/обычный поток данных в сети, созданный путем реальных пользовательских данных.

Атака FTP-Patator – это атака грубой силы, направленная на захват действительного имени пользователя и пароля при

использовании сетевого протокола FTP, который обеспечивает передачу файлов между клиентом и сервером в сети. Большое количество неудачных попыток входа за короткий промежуток времени является характерной особенностью для атак грубой силы. Поэтому можно наблюдать плотный поток пакетов во время атаки. Кроме того, неудачные попытки входа не содержат файлов большого размера, поэтому потребление полосы пропускания и количество байтов низкие.

Атака SSH-Patator. SSH (Secure Shell) – это криптографический протокол, который позволяет безопасно работать с различными сетевыми сервисами по сети в незащищенной среде. Наиболее распространенным использование SSH – удаленный доступ к системе. Соответственно, цель данной атаки получить удаленный доступ. Атака SSH-Patator включает три шага:

- 1) Этап сканирования. Целью этого этапа является попытка узнать сведения о целевой системе. Атакующий пытается найти узел, использующий SSH, путем выполнения сканирования определенного номера порта для IP-блоков в сети или подсети.

- 2) Этап грубой силы: на этом этапе атакующий пытается войти в систему, которую он обнаружил на этапе сканирования, используя большое количество комбинаций имени пользователя и пароля.

- 3) Этап вымирания: Атакующий получает полномочия легитимного пользователя, успешно войдя в систему.

Если на первом этапе этой атаки наблюдается большое количество незавершенных TCP-пакетов с SYN флагами, на втором этапе (перебор) наблюдается небольшое количество завершенных TCP-пакетов небольшого размера. Количество пакетов в потоке велико, но размеры пакетов малы.

Атаки SSH-Patator и FTP-Patator часто входят в состав более сложных атак, и, в частности, перед или в процессе реализации web-атак.

Атака XSS (Cross-Site Scripting) – тип веб-атаки, которая реализуется путем внедрения кода в скрипты веб-страниц. При просмотре скомпрометированной веб-страницы, внедренный фрагмент вредоносного кода может привести к нежелательным результатам, таким как кража данных, захват сеанса, выполнение специального кода и т.п.

Атака SQL-инъекций реализуется при попытке доступа к базе данных, используя соединения между веб-приложением и базой данных, что грозит возможностью кражи, удаления или изменения данных, отправив вредоносные sql-запросы на сервер базы данных.

В процессе обучения применялось два сценария – обучение ML-моделей на конкретном типе атак и со всеми вышеупомянутыми совместно. Для первого подхода создавался отдельный csv-файл для каждого типа атаки. Этот файл содержит все записи, маркированные конкретным типом атаки, и записи, выбранные из штатного потока с учетом интервала атаки (до и после атаки).

### Обнаружение аномалий

Поскольку основу объясняемых ML-методов составляет класс моделей на базе деревьев решений, представим процесс построения дерева решений в формальном виде.

Пусть датасет задан в виде векторов обучения,  $x_i \in X^m$ ,  $i=1, \dots, l$  и векторов соответствующих меток  $y_i \in Y^l$ . Дерево решений рекурсивно разбивает пространство признаков таким образом, что образцы с одинаковыми метками или сходными целевыми значениями группируются вместе.

Пусть данные в узле  $n$  дерева решений представлены множеством  $Q_n$  с  $m_n$  образцами (samples). Кандидат на точку разбиения обозначим через  $\theta(j, t_n)$  где  $j$  – некоторая функция, а  $t_n$  пороговое значение для разбиения данных на  $Q_n^{left}(\theta)$  и  $Q_n^{right}(\theta)$  подмножества.

Тогда правило разбиения описывается следующим выражением:

$$\begin{cases} Q_n^{left}(\theta) = \{(x, y) | x_i < t_n\} \\ Q_n^{right}(\theta) = Q_n \setminus Q_n^{left}(\theta) \end{cases}, \quad (6)$$

Качество возможного разбиения  $G(Q_n, \theta)$  узла  $n$  вычисляется с использованием  $H$ -функции потерь (Loss-функция), выбор которой зависит от решаемой задачи (классификация или регрессия):

$$G(Q_n, \theta) = \frac{m_n^{left}}{m_n} H(Q_n^{left}(\theta)) + \frac{m_n^{right}}{m_n} H(Q_n^{right}(\theta)). \quad (7)$$

В итоге выбирается параметр  $\theta^*$ , который минимизирует функцию потерь:

$$\theta^* = \arg \min_{\theta} (G(Q_n, \theta)). \quad (8)$$

Рекурсия указанных выше разбиений (6) – (8) выполняется для подмножеств  $Q_n^{left}(\theta)$  и  $Q_n^{right}(\theta)$  до тех пор, пока не будет достигнута максимально допустимая глубина  $m_n < \min$  или же  $m_n = 1$ .

Функция потерь  $H(Q_n)$  для задачи классификации задается выражением (9), а для задачи регрессии – выражением (10):

$$H(Q_n) = -\sum_k p_{nk} \log(p_{nk}), \quad (9)$$

где  $k$  – количество классов классификации, а  $p_{nk}$  – пропорция наблюдений класса  $k$  в узле  $n$ .

Если целью является непрерывное значение (решается задача регрессии), то для узла  $n$  общими критериями для минимизации при определении местоположений для будущих разбиений являются среднеквадратическая ошибка (MSE или ошибка  $L2$ ), отклонение Пуассона, а также средняя абсолютная ошибка (MAE или ошибка  $L1$ ):

$$H(Q_n) = \frac{1}{m_n} \sum_{y \in Q_n} (y - \bar{y}_n)^2, \quad (10)$$

где  $\bar{y}_n = \frac{1}{m_n} \sum_{y \in Q_n} y$  – среднеквадратическая ошибка,  $y$  – численное значение метки.

Среди основных современных алгоритмов обнаружения аномалий (типичная задача бинарной классификации) выделяют [14] «случайный лес» (Random Forest), «сокращение измерений» ;(Dimension Reduction, например, алгоритм PCA), «изолированный лес» (Isolation Forest). PCA является неконтролируемым методом, а Random Forest – контролируемым, Isolation Forest применим как к контролируемым, так и неконтролируемым подходам к обучению.

Класс Random Forest Regressor из Sklearn использован при вычислении весов важности признаков (включая  $IoC$ ). Гиперпараметры Random Forest Regressor были установлены в следующие значения  $n\_estimators=100$ ,  $max\_depth=90$ ,  $min\_samples\_split=10$ ,  $min\_samples\_leaf=3$ . В результирующем лесу решений каждому признаку присвоен вес в зависимости от того, насколько он полезен при построении дерева решений. По завершении процесса эти веса важности признаков отсортированы (рис. 2, 4-6). Сумма весов важности всех свойств дает общий вес дерева решений. Доля в процентах любого признака от веса всего дерева, взятого за 100%, дает информацию о важности этого признака в дереве решений. На рисунке 4 продемонстрирована динамика доминирующих признаков при FTP-Patator атаке.

Анализатор на базе Isolation Forest предварительно обрабатывает все файлы лог-журналов и сохраняет журналы действий пользователей. Для каждого пользователя система извлекает набор характеризующих их признаков (feturas – фичей) и строит базовую модель пользователя (base line tree), создавая набор расширенных функций – лес деревьев изоляции (Isolated Forest). Когда в лог-журнале появляется новая запись о действиях пользователя, она сопоставляется с каждым из этих деревьев изолированного леса и вычисляется оценка аномалий. Если полученная оценка аномалии ниже априорно заданного порогового значения, она считается нормальной, в противном случае регистрируется аномальное поведение, и этот пользователь/сущность помечается как аномалия. Изолированный лес обладает рядом преимуществ в качестве алгоритма обнаружения аномалий в агентных системах аутентификации:

- Для получения функции обнаружения аномалий требуются относительно небольшие выборки из больших наборов данных. Это делает его быстрым и масштабируемым.
- Не требуются примеры аномалий в наборе обучающих данных.
- Его пороговое значение расстояния для определения аномалий основано на глубине дерева, которая не зависит от масштабирования размеров набора данных.

Поскольку для формирования индикаторов атаки следует учитывать прежде всего индикаторы компроментации, соответствующие оранжевому и красному уровню «пирамиды боли», из 85 признаков были исключены признаки, присущие зеленым уровням (Flow ID, Source IP, Source Port, Destination IP, Destination Port, Protocol, Timestamp, External IP), в силу того, что они легко атакующим маскируются или меняются. Оставшиеся признаки ранжировались. Полученные в результате ранжирования профили (рис. 2, 4, 5) образуют прототип паттерна атак ( $IoA$ ). Результат ранжирования признаков атак SSH-Patator и FTP-Patator указывает на доминирующий признак Fwd Packet Length Max, имеющий наибольший вес. Это связано с похожими схемами проведения атак этих типов.

В свою очередь, существенные признаки веб-атак отличаются по составу доминирующих признаков.

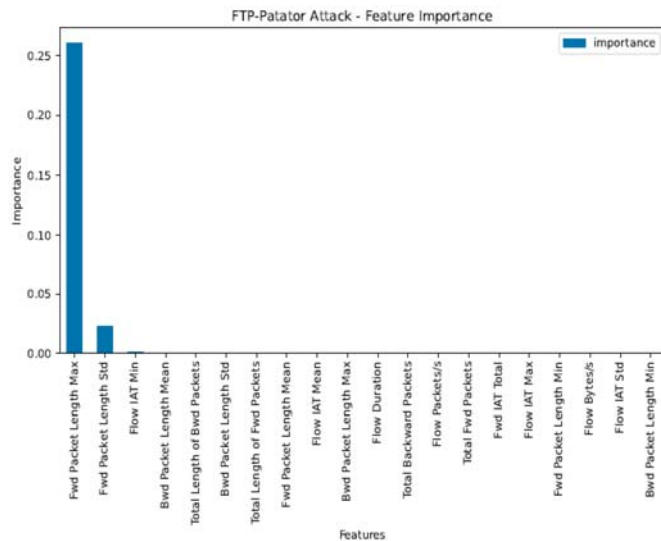
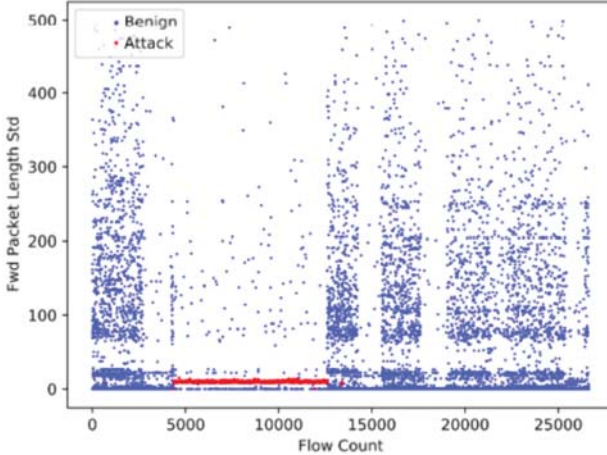
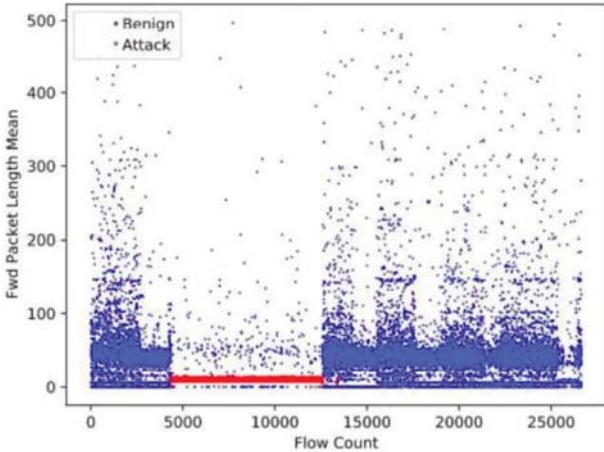


Рис. 2. Результат ранжирования признаков атаки FTP-Patator



а) Динамика "Fwd Packet Length Std" при FTP-Patator атаке



б) Динамика "Fwd Packet Length Mean" при FTP-Patator атаке

Рис. 3. Динамика доминирующих признаков при FTP-Patator атаке (фрагмент траффика)

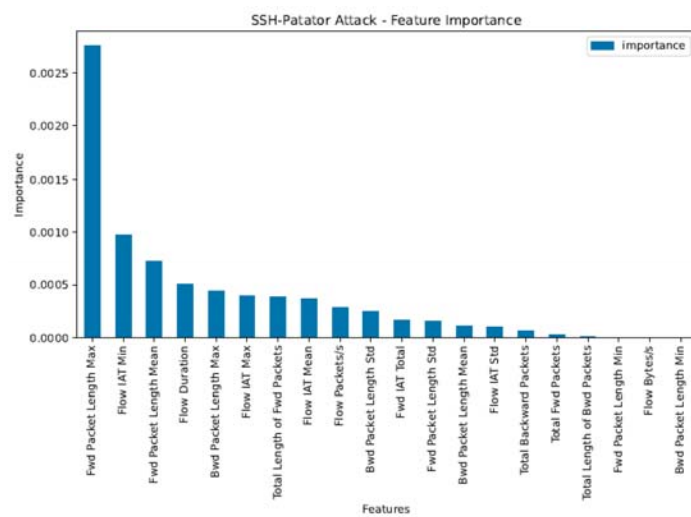


Рис. 4. Результат ранжирования признаков атаки SSH-Patator

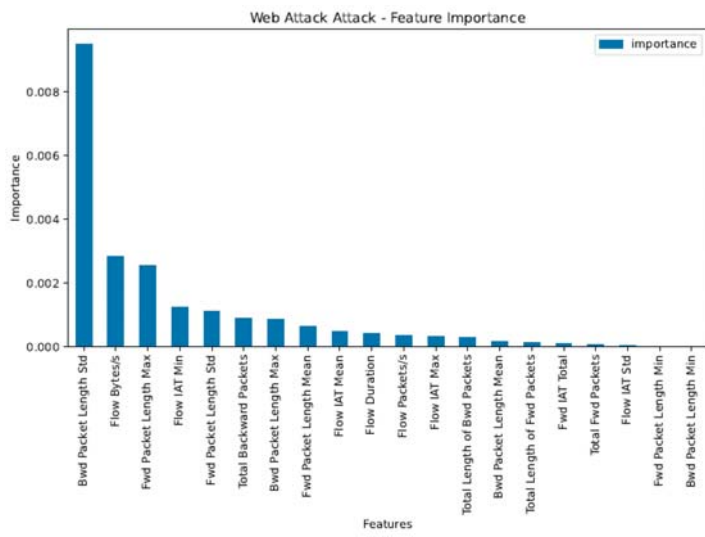


Рис. 5. Результат ранжирования признаков Web-атаки

Профиль рейтинга для случая совмещенных атак (рис. 6) нельзя интерпретировать как прототип паттерна конкретного  $IoA$ , однако он полезен для выявления доминирующих фичей систем аутентификации в целом и может быть проинтерпретирована как индикатор разворота IoPivot ( $IoP$ ), характеризующий боковое движение сложной атаки:

$$IoP(t) = \varphi \left( \bigcup_j IoA_j \otimes \bigcup_i IoC_i(t) \right) \quad (11)$$

где  $\varphi$  – функциональная зависимость, выявленная в ходе обучения ML-модели,  $t$  – дискретное время наблюдений трафика,  $j$  – количество выявленных паттернов для  $IoA$ ,  $i$  – число доминирующих признаков индикаторов компрометации  $IoC$ .

При установке для (11) порогового значения веса признака равным 1% от общей суммы весов признаков, выделены семь доминирующих признаков, покрывающих 95,8% общего веса признаков. Список семи доминирующих признаков приведен в таблице 5.





